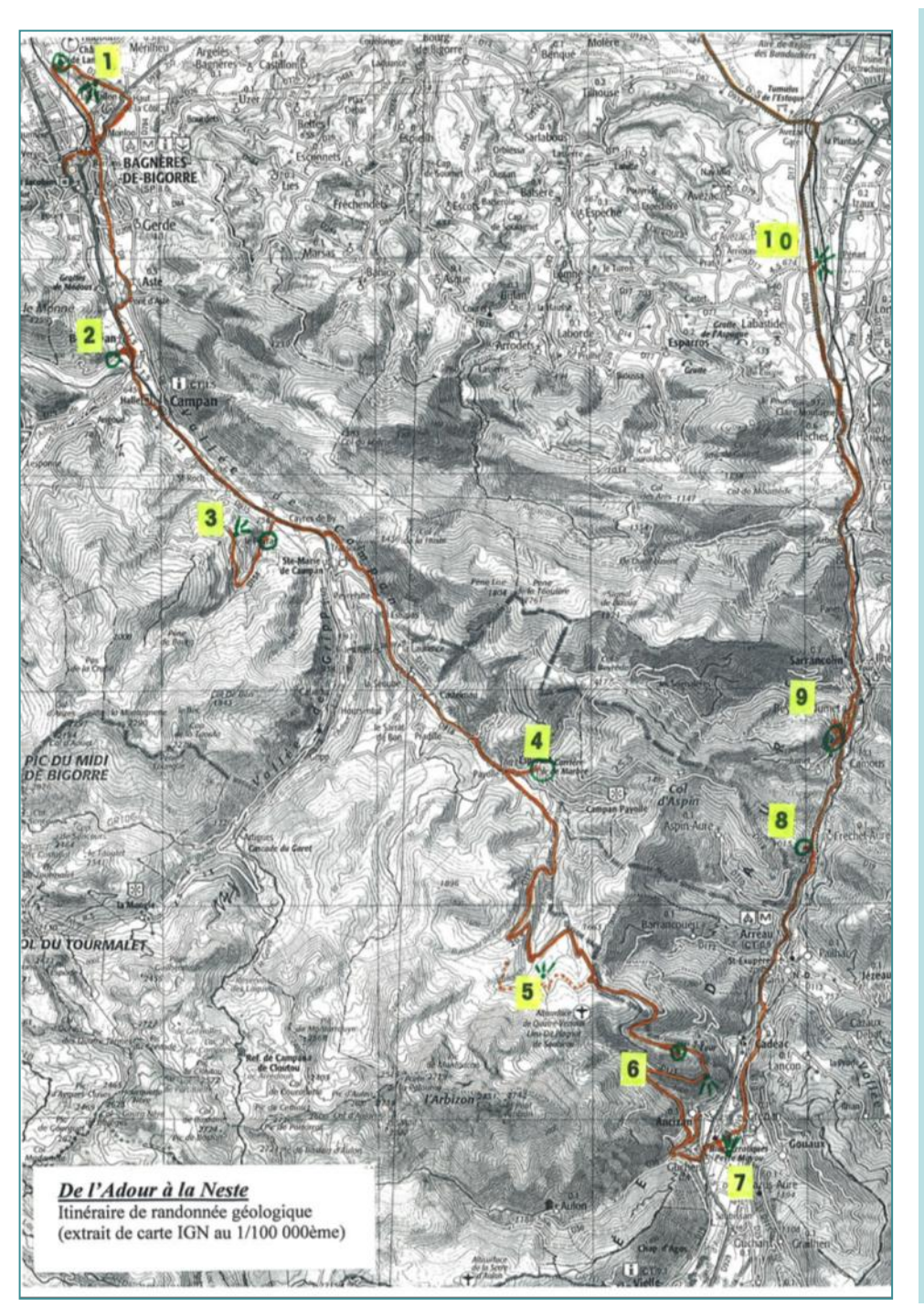




Arrêt 1: « Haut de la côte »

Panorama vers le SE : Bagnères de Bigorre et le Pic du Midi, à droite le Montégut. En avant, la montagne du Monné et le Bédat où se développent les plis de terrains secondaires de la zone Nord-pyrénéenne.



Itinéraire

ARRET 1: D938 Est vers « Haut de la côte » D26, tourner à gauche, à 300 m

Observation du bassin de Bagnères ; à quelques centaines de mètres à droite ophite et pouzacite.

ARRET 2: Premier croisement, à gauche, D8 Bagnères, Aste, Pont d'Aste, D935 Baudéan,

Vallon de Serris, route derrière l'église de Baudéan, sur le chemin, séries du Jurassique au Trias, faille Nord-Pyrénéenne, schistes crétacé supérieur.

ARRET 3: D935, Baudéan, Campan, à 4,5 km, D154 à droite vers PEYRAS, 2,5 km

Vue sur le chaînon calcaire au Nord de l'Adour, synclinal couché Jurassique et Crétacé ; en descendant, contact par faille NP entre Dévonien et Trias.

ARRET 4 : Retour D935, avant chapelle à gauche falaise d'escalade RD de l'Adour, blocs erratiques, remontée sur D918, vers Payolle, carrière d'Espiadet,

Observation du Dévono-carbonifère.

ARRET 5: Retour Payolle, D 113 vers Hourquette d'Ancizan

Hourquette d'Ancizan, marche à flanc ½ heure, systèmes morainiques.

ARRET 6 : Descente vers Guchen, pla de la Serre, à approx.5km, route empierrée à droite

Pla de la Serre, Viséen à nodules phosphatés sous calcaires « griottes ». Vue panoramique sur la vallée d'Aure et la haute chaîne.

ARRET 7: Dans Guchen, à gauche, D929, puis à droite direction Grezian, chapelle, 5' à pied à droite

Pouy de Capis, table d'orientation, glaciations quaternaires.

ARRET 8: Pont de Grézian, D929 nord, à 3,5 km d'Arreau, carrière de Frechet-Aure,

Calcaires récifaux carbonifères, PermoTrias.

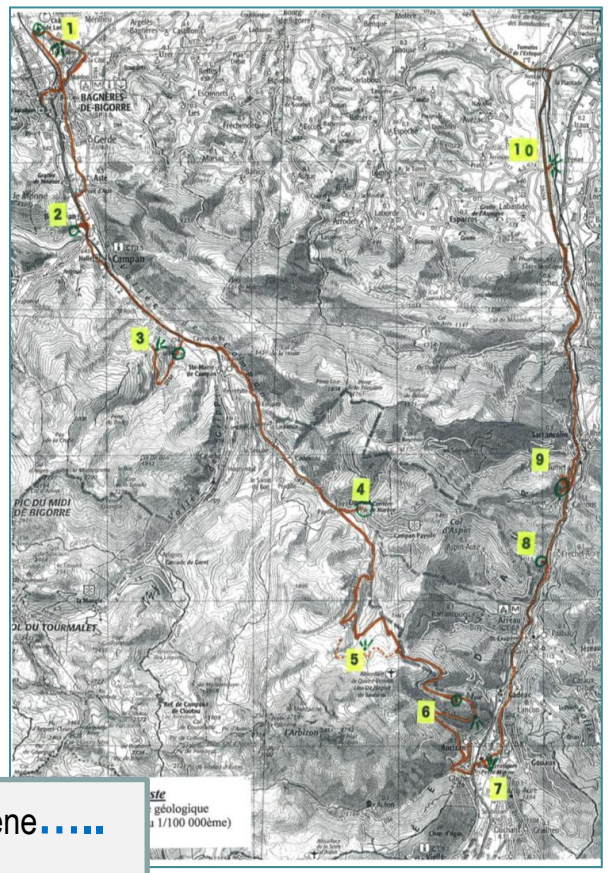
ARRET 9 : Sarrancolin, route de Beyrède-Jumet à gauche

Carrières de marbre, faille et contact avec Trias rutilant.

ARRET 10: Sarrancolin, D929, Rebouc, Héches, rond-point D929A Point haut du plateau

Terrasses de la Neste, plateau de Lannemezan, (alt. 674 m).

De l'ADOUR à la NESTE **Géol**Val



q2b:Pléïstocène. (Moraines)

q1: Pléïstocène (Cône de Lannemezan)

cF: Crétacé supérieur

n: Crétacé inférieur

J: Jurassique

rt1: Permien

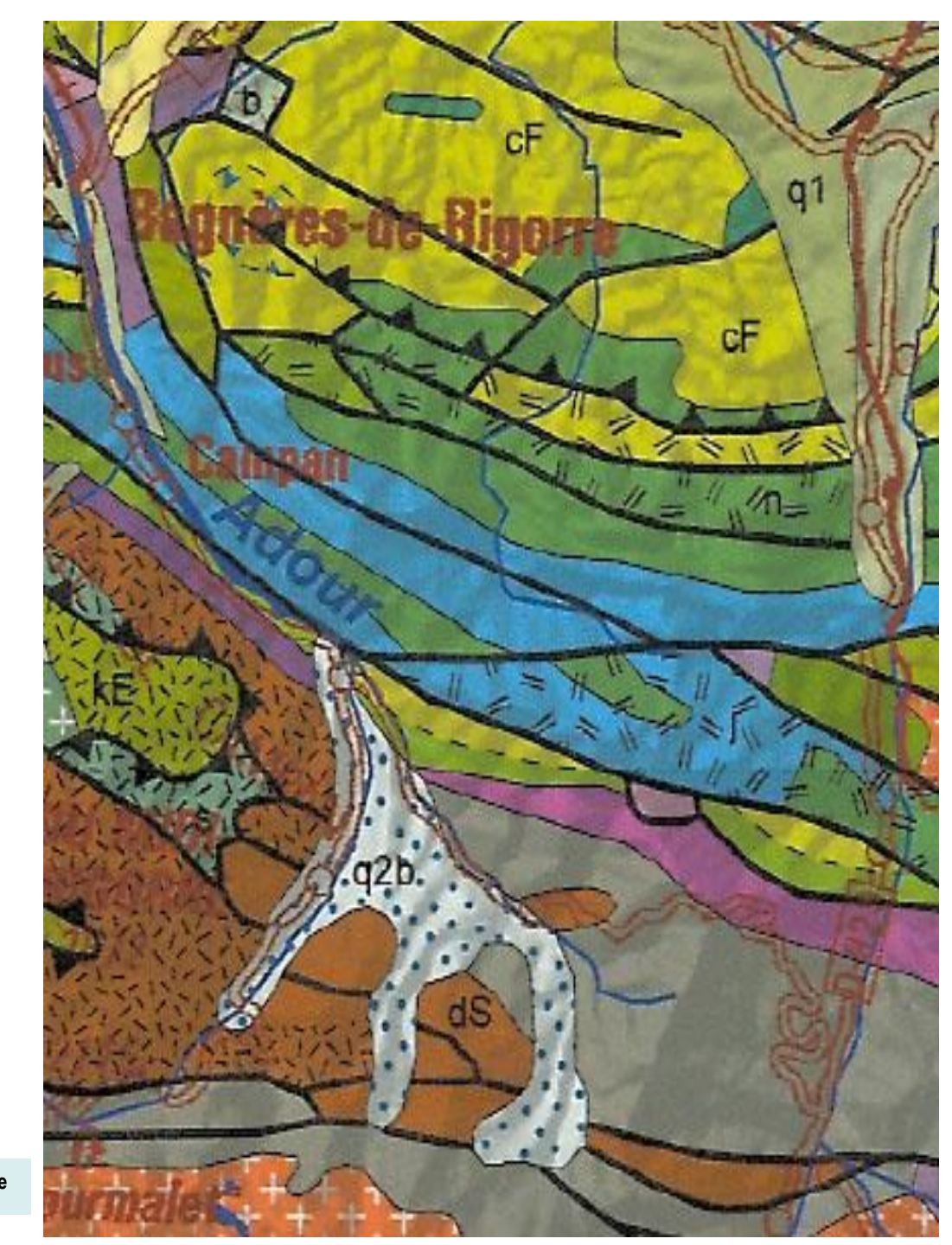
dS: Dévonien

H1-4: Carbonifère

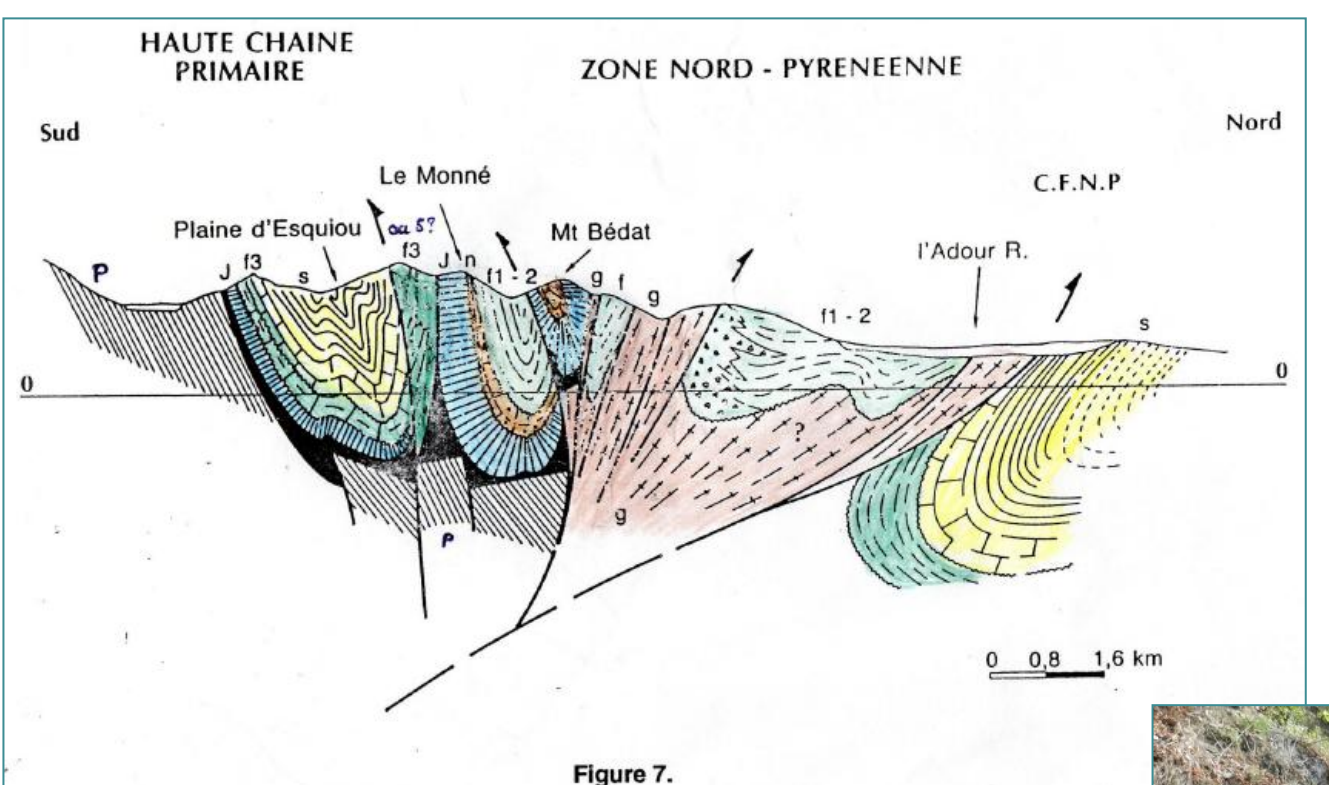
Carbonifère (granite) +

KE: Cambrien

© BRGM Carte Géologique des Pyrénées 1/ 4 000 000 e







ARRET 1: D938 Est vers « Haut de la côte » D26, tourner à gauche, à 300 m

Observation du bassin de Bagnères ;

Coupe structurale A

- correspondant au panorama page 1
- localisation schéma structural page 3 .

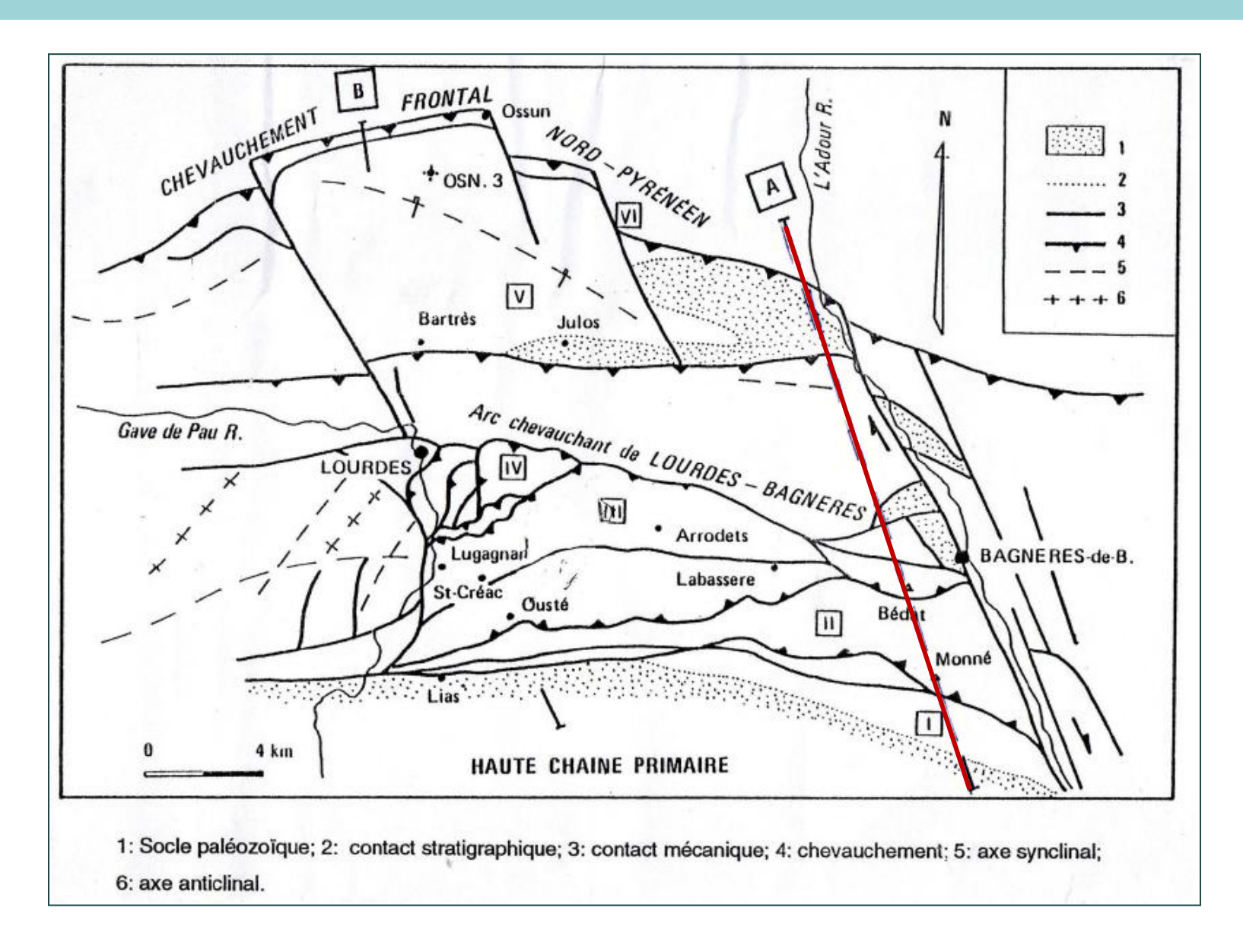
Coupe structurale dans la Zone Nord-Pyrénéenne aux environs de Bagnères-de-Bigorre (localisation: voir figure 5). g: gneiss; P: Paléozoïque; T; Trias; J: Jurassique; n: Néocomien-Aptien; f: flyschs crétacés (1-2: Albien; 3: Cénomano-Turonien); s: Sénonien; e: Eocène; a: alluvions. OFNP: Chevauchement Frontal Nord-Pyrénéen.

À quelques centaines de mètres à droite, le long de la route, ophite et pouzacite*

pouzacite*: roche magmatique riche en feldspaths











Un des calcaires du Jurassique

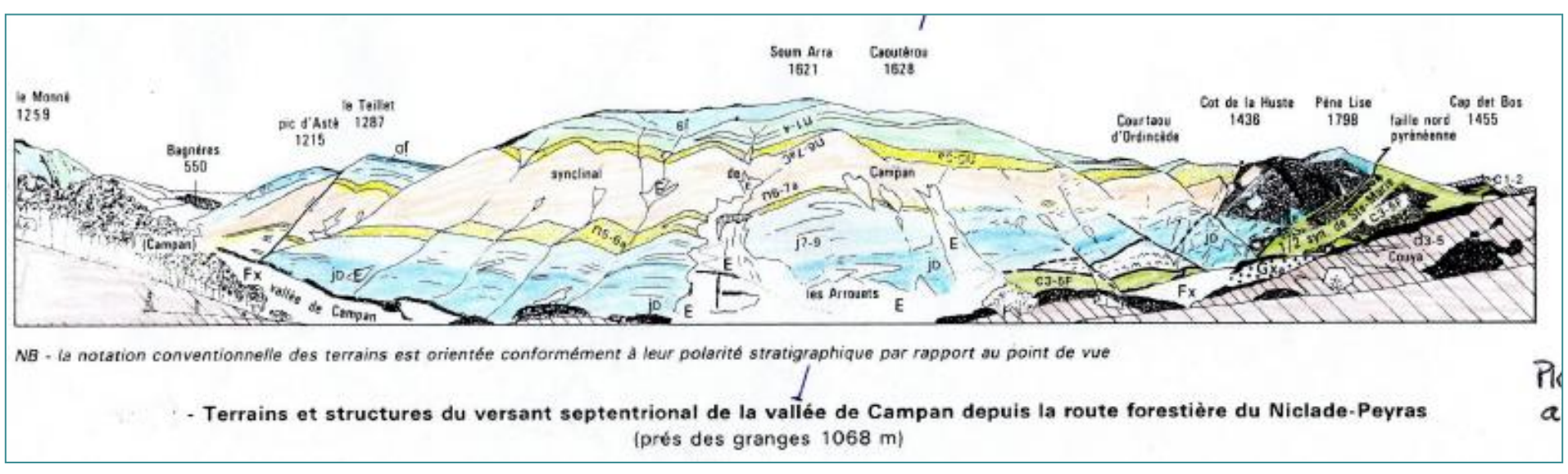
Observation des argiles du Lias à schistosité subverticale traversées par le chemin

ARRET 2: Premier croisement, à gauche, D8 Bagnères, Aste, Pont d'Aste, D935 Baudéan,

Vallon de Serris, route derrière l'église de Baudéan, sur le chemin, séries du Jurassique au Trias, faille Nord-Pyrénéenne, schistes Crétacé sup.







ARRET 3: D935, Baudéan - Campan, à 4,5 km, D154 à droite vers PEYRAS, 2,5 km Vue sur le chaînon calcaire au Nord de l'Adour, synclinal couché



Source: d'après BRGM, notice de la feuille Bagnères de Bigorre

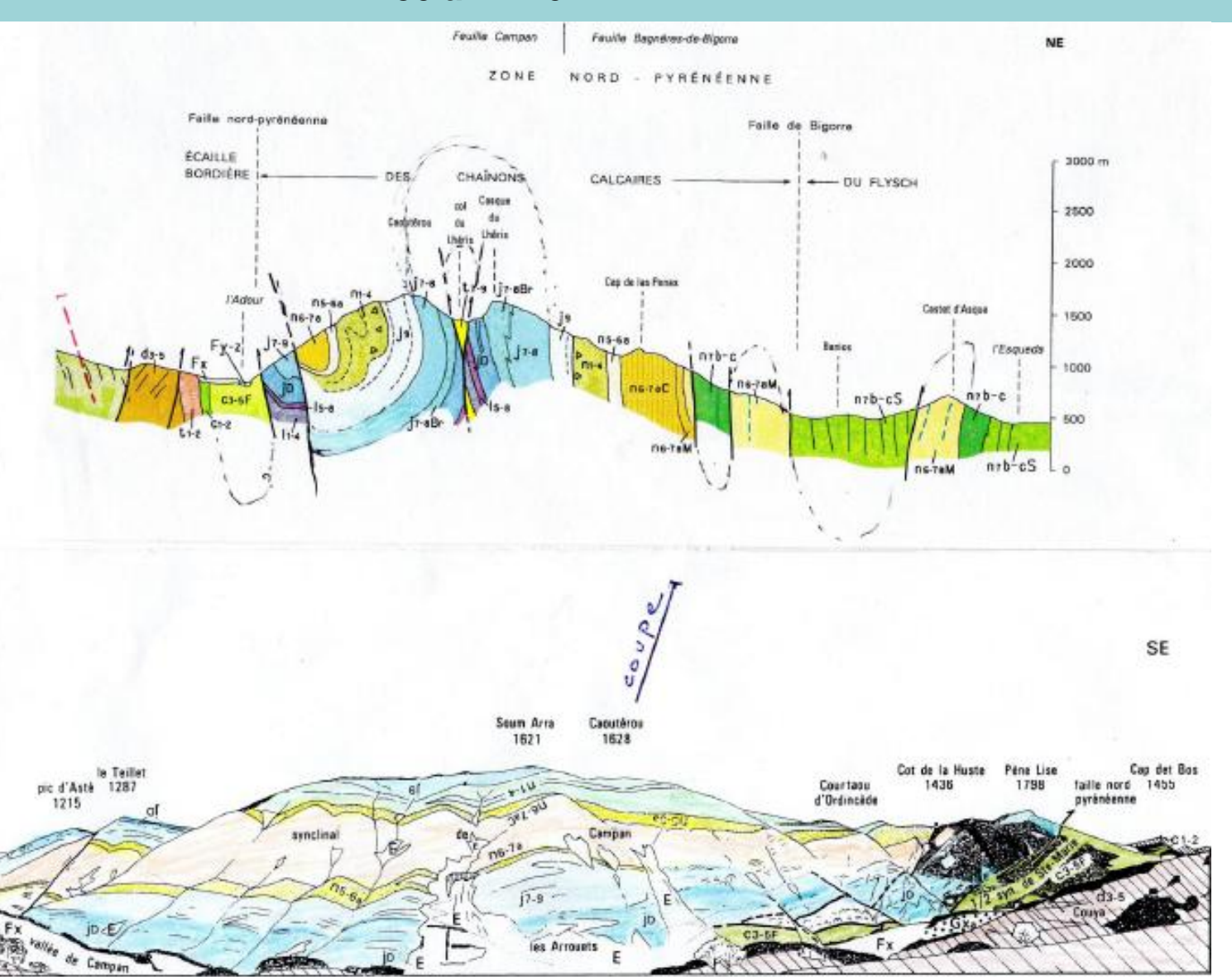
NW

Bagnéres

ie Monné

1259

1/50 000 e



NB - la notation conventionnelle des terrains est orientée conformément à leur polarité stratigraphique par rapport au point de vue





ARRET 4: Retour D935, avant chapelle à gauche falaise d'escalade RD de l'Adour, blocs erratiques, remontée sur D918, vers Payolle, carrière d'Espiadet

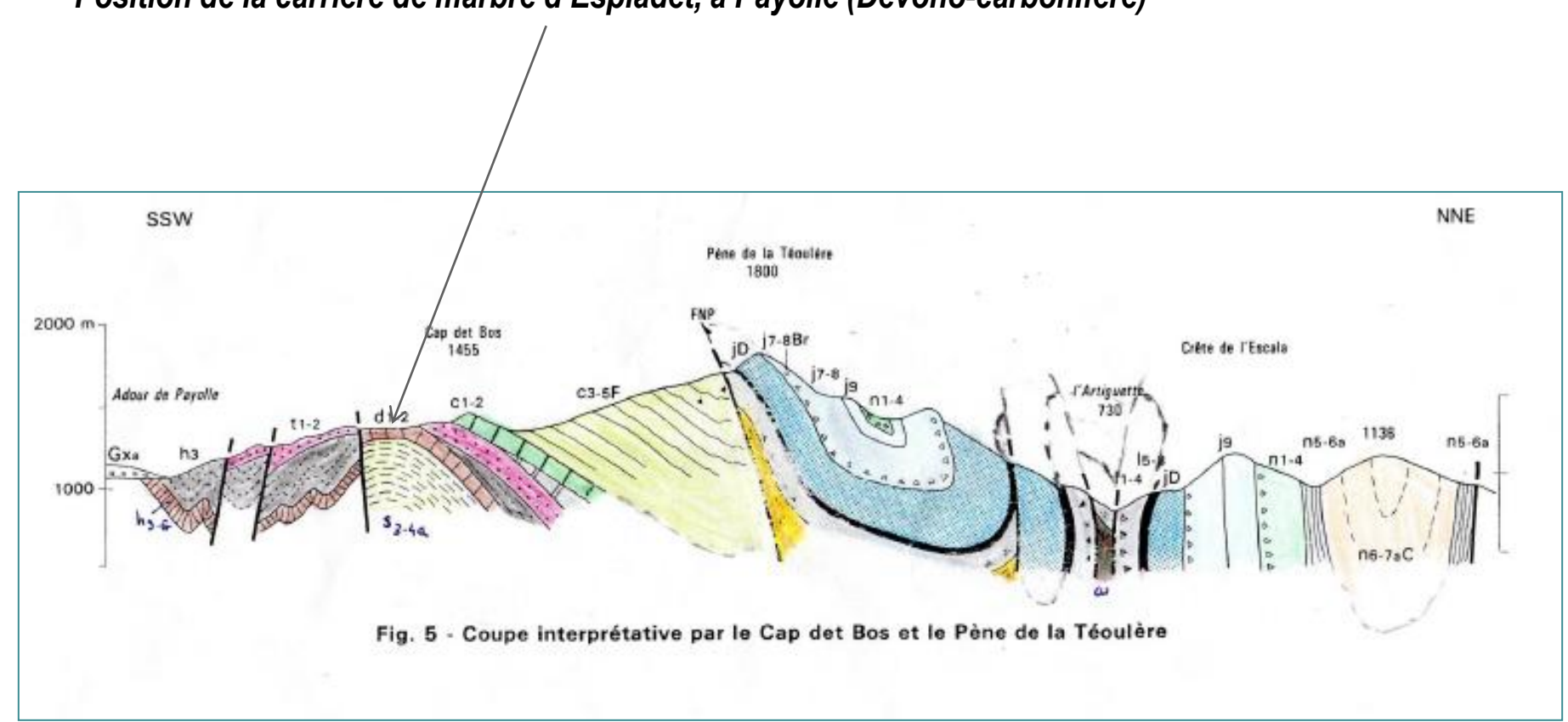
Calcaire griotte du Dévonien (- 380 Ma);

Observation du Dévono-carbonifère, dans la carrière de marbre d'Espiadet, à Payolle



ARRET 4 : Retour D935, avant chapelle à gauche falaise d'escalade RD de l'Adour, blocs erratiques, remontée sur D918, vers Payolle, carrière d'Espiadet

Position de la carrière de marbre d'Espiadet, à Payolle (Dévono-carbonifère)



ARRET 5: Retour Payolle, D 113 vers Hourquette d'Ancizan Hourquette d'Ancizan, marche à flanc ½ heure, systèmes morainiques



Au pied du massif de l'Arbizon, de la gauche vers la droite, (a) moraine latérale Est du glacier descendu de l'Arbizon, (b) moraine latérale Ouest à gauche de la photo; la route est sur une plaine d'accumulation d'alluvions fluviatiles bloquées par la moraine (a)



ARRET 6 : Descente vers Guchen, pla de la Serre, à approximativement 5km, route empierrée à droite Pla de la Serre, Carbonifère Viséen : schistes ampélitiques à nodules phosphatés (a) sous calcaires amygdalaires (b) .



ARRET 6 : Descente vers Guchen, pla de la Serre, à approx. 5km, route empierrée à droite Panorama de la vallée d'Aure.



Les villages de la haute vallée d'Aure (a) occupent une ancienne vallée glaciaire dont on retrouve les blocs morainiques à plus de 300 mètres au-dessus du fond de la vallée.



GéolVal

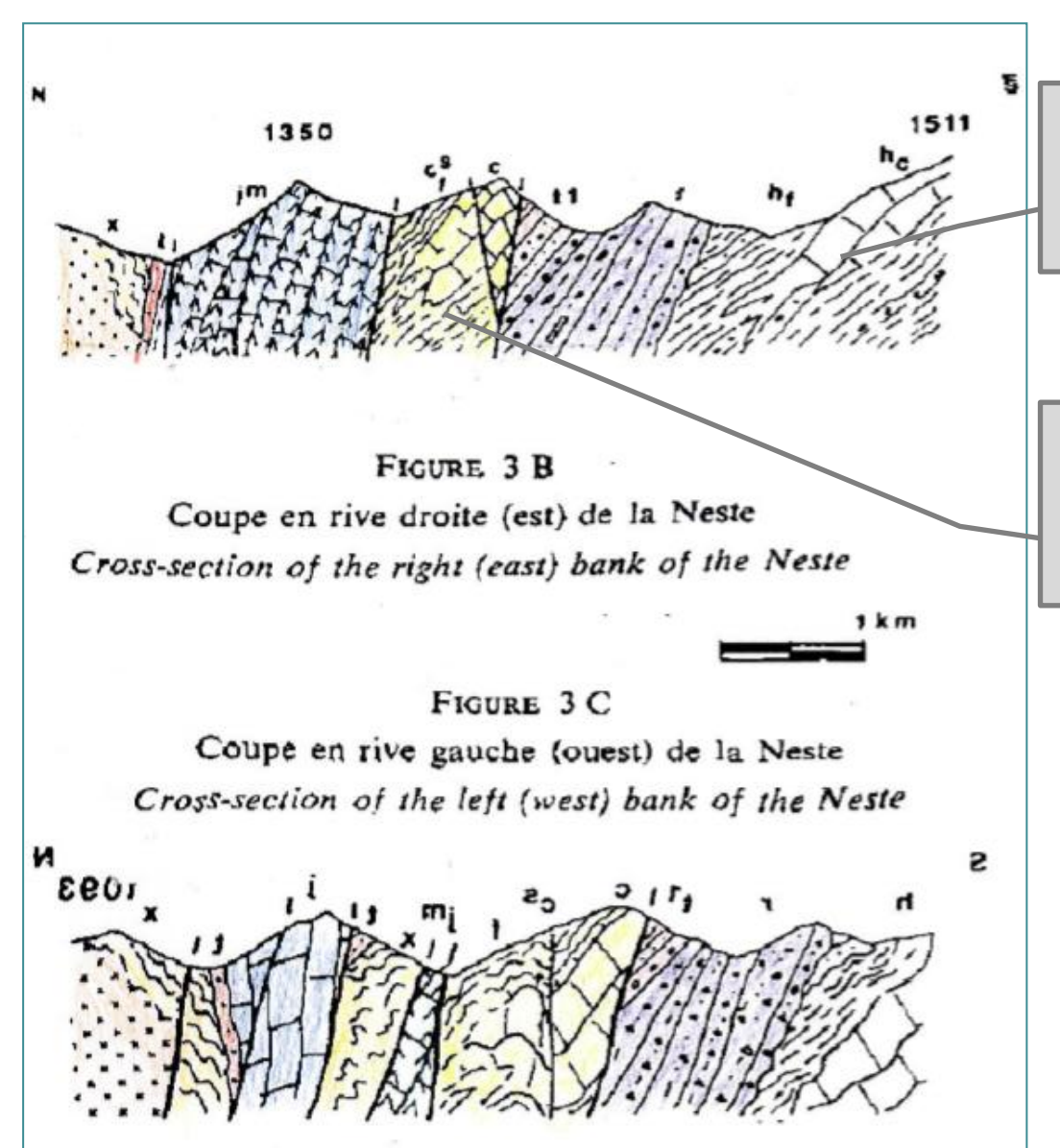
ARRET 8 : Pont de Grézian, D929 nord, à 3,5 km d'Arreau, carrière de Frechet-Aure,

Calcaires récifaux carbonifères



Passée de calcaire récifaux du Carbonifère (-300 Ma) traversée par la vallée d'Aure ; ces calcaires très poreux et fracturés ont donné naissance à d'importants réseaux karstiques. Ils sont par ailleurs riches en débris fossiles (coraux, brachiopodes)

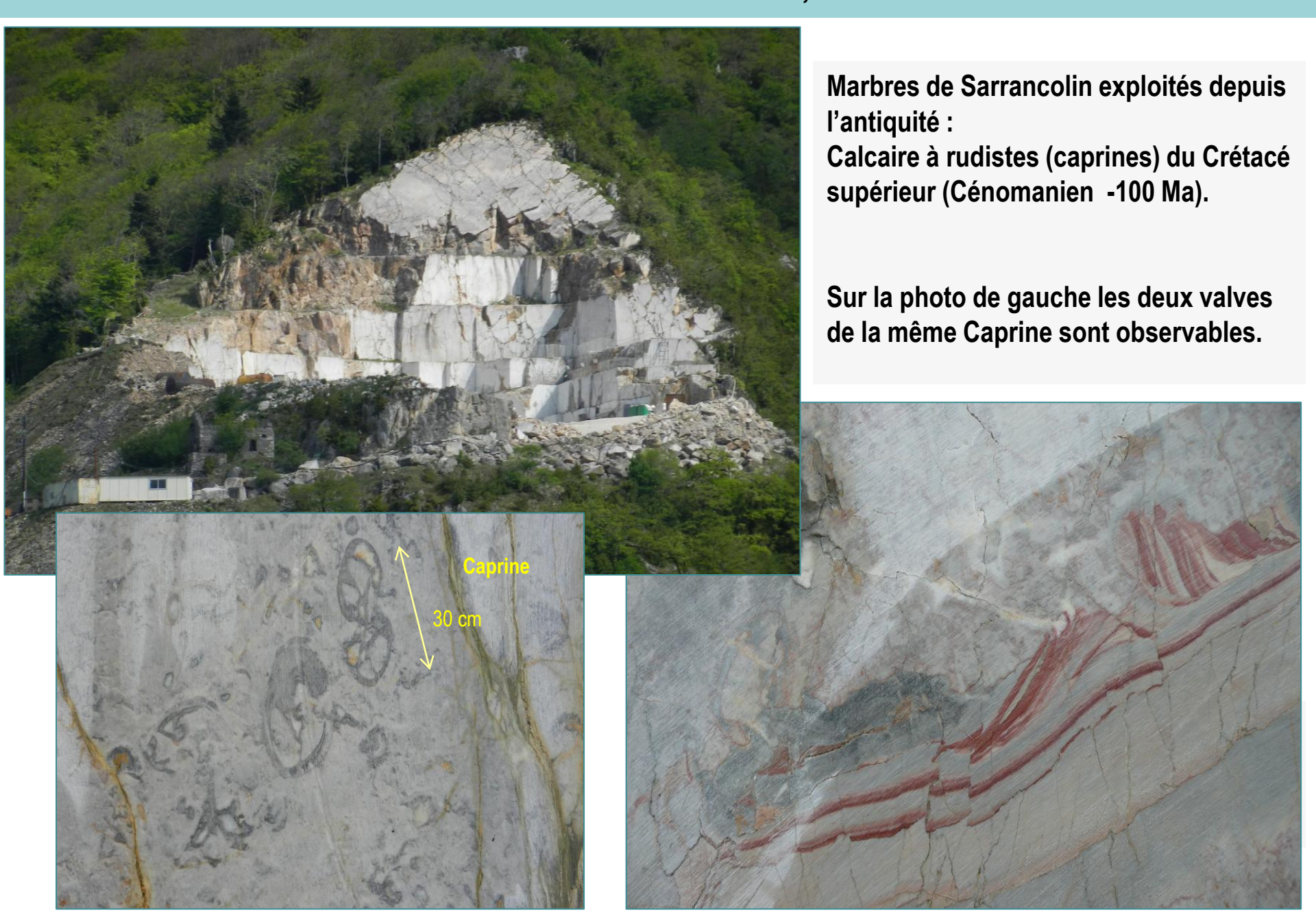




H_{c:} Passée de calcaire récifaux du Carbonifère (-300 Ma) traversée par la vallée d'Aure

Marbres de Sarrancolin ; calcaires du Cénomanien (-100 Ma) à rudistes (caprines)

ARRET 9 : Sarrancolin, route de Beyrède-Jumet à gauche Carrières de marbre, faille et contact avec Trias rutilant



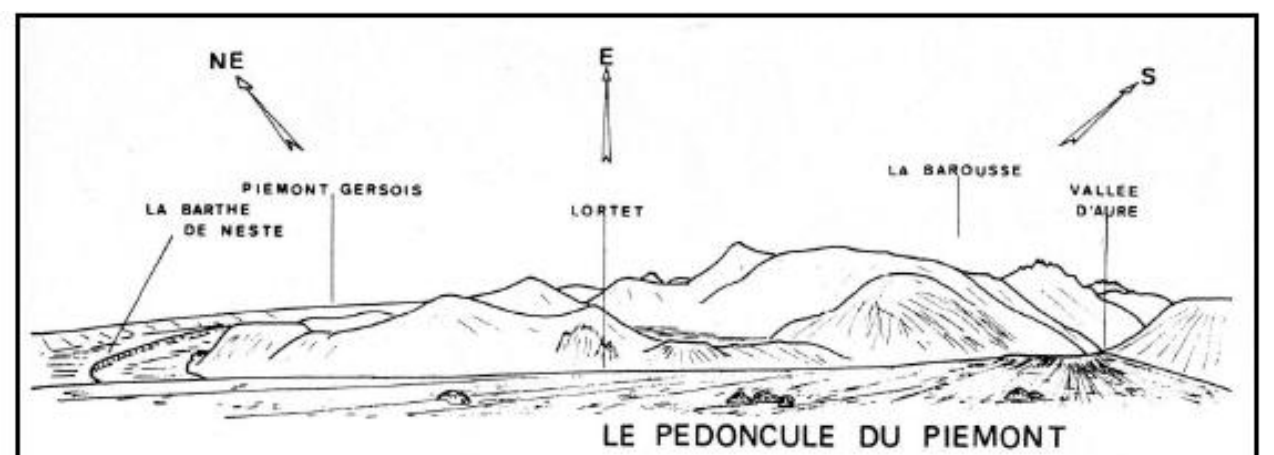


FIGURE 2 B

Panorama du Piedmont nord-pyrénéen et des premiers chaînons au sud de Lannemezan Panorama of the North Pyrenean Piedmont and foothills south of Lannemezan

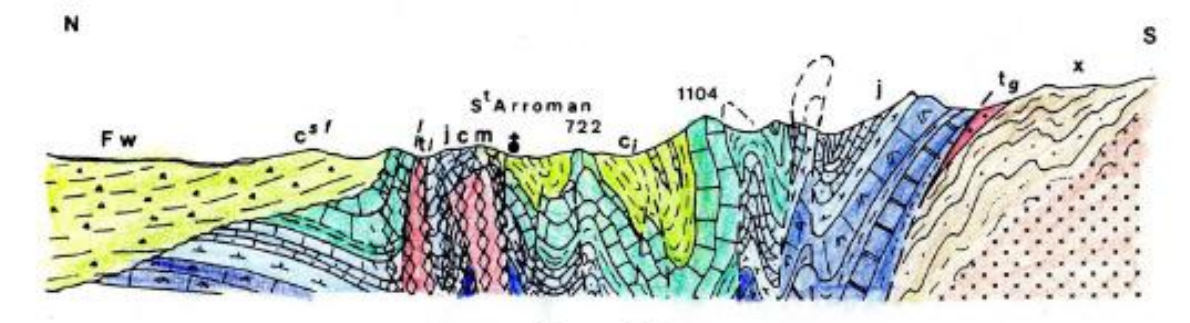


FIGURE 2 C

Coupe nord-sud, rive est de la Neste à hauteur de Saint-Arroman Cross-section N-S, east bank of the Neste at height of Saint-Arroman

Fu, Fv, FW, Fx, Fy: épandages alluviaux Donau, Günz, Mindel, Riss, Würm de la basse vallée de la Neste.

mp : formation alluviale pontico-pliocène de Lannemezan.

cc*f: flysch crétacé supérieur des Baronnies, W = pointement magmatique serpentinisé d'Avezac.

t, j, cm: terrains mésozoïques affectés par le métamorphisme nord-pyrénéen.

je, ce: barres carbonatées du Jurassique supérieur et du Crétacé inférieur.

j, c : série sédimentaire du Jurassique à l'Aptien.

t: Trias plastique et magmatisme ophitique associé à la dynamique triasique.

t_s: formation détritique de lithofaciès Buntsandstein à la base du Mésozoïque nord-pyrénéen extra-graben.

X : Paléozoïque inférieur du Massif de la Barousse.

ARRET 10: Sarrancolin, D929, Rebouc, Héches, rond-point D929A Point haut du plateau

Terrasses de la Neste, plateau de Lannemezan, (alt. 674 m)